

6. Von Karman Th. Über laminare und turbulente Reibung. — ZAMM, 1921, N 1, S. 233—252.
7. Prandtl L. Über den Reibungswiderstand strömender Luft. — «Ergebnisse AVA», Göttingen, 1927, III, Lieferung, 1—5.
8. Clauser F. H. The turbulent boundary layer. — In: Advances Appl. Mech. Vol. 4. N. Y., 1956, p. 1—51.
9. Ludwig H., Tillman W. Untersuchungen über die Wandschubspannung in turbulenten Reibungsschichten. — «Ing.-Arch.», 1949, B. 17, S. 288—299.
10. Stratford B. S. An experimental flow with zero skin friction throughout its region of pressure rise. — «J. Fluid Mech.», 1959, vol. 5, p. 17—35.

УДК 532.529:536.25

СТАЦИОНАРНЫЙ ДВУХФАЗНЫЙ ПОТОК В ВЕРТИКАЛЬНОЙ ТРУБЕ ПРИ СОВМЕСТНОМ ДЕЙСТВИИ СВОБОДНОЙ И ВЫНУЖДЕННОЙ КОНВЕКЦИИ

В. А. Дубовик

(Томск)

В рамках двухскоростной и двухтемпературной модели сплошной среды рассматривается вязкостно-гравитационное течение смеси несжимаемой жидкости и частиц в вертикальной круглой трубе. Уравнения свободной конвекции записываются на основании общих уравнений движения и энергии двухфазной среды [1, 2]. Методом конечного интегрального преобразования Ханкеля строится решение для случая линейного распределения температуры стенки вдоль трубы.

Приводятся результаты расчетов поля скоростей и температур по сечению, а также безразмерного коэффициента теплоотдачи в зависимости от числа Рейля и концентрации фаз. При этом предполагается, что коэффициенты динамического и теплового взаимодействия между фазами отвечают стоковскому режиму обтекания каждой частицы, в результате чего наблюдается [3] малое скоростное и тепловое отставание фаз.

1. Рассматривается течение и теплообмен в вертикальной круглой трубе радиуса R на достаточном удалении от входа, т. е. в области с наступившей тепловой и гидродинамической стабилизацией потока. В этой области течение происходит параллельно стенке и скорости не изменяются по длине трубы. Физические свойства фаз и их концентрации, исключая плотности, считаются постоянными. Изменение истинных плотностей в зависимости от температуры аналогично однофазному течению [4, 5], предполагается линейным и учитывается лишь в тех членах уравнений движения, которые выражают подъемную силу. Незначительное изменение скоростей при свободной конвекции и малое скоростное отставание фаз позволяют в уравнениях энергии исключить из рассмотрения члены, обусловленные вязкостным взаимодействием фаз и диссипацией энергии.

При этих допущениях исходная система уравнений [1, 2] существенно упрощается.

Ось z цилиндрической системы координат ρ, φ, z направлена вверх по оси трубы. Тогда с учетом симметрии течения и теплообмена уравнения гравитационной конвекции двухфазной среды при сформулированных предположениях принимают вид:

$$(1.1) \quad \begin{aligned} & \mu_i \varphi_i \left(\frac{\partial^2 W_i}{\partial \rho^2} + \frac{1}{\rho} \frac{\partial W_i}{\partial \rho} \right) - (-1)^i k_0 (W_2 - W_1) - \varphi_i \frac{\partial p_i}{\partial z} - \\ & - \varphi_i \rho_i g [1 - \beta_i (T_i - T_w)] = 0; \\ & W_i \varphi_i \rho_i c_{pi} \frac{\partial T_i}{\partial z} = \varphi_i \lambda_i \left(\frac{\partial^2 T_i}{\partial \rho^2} + \frac{1}{\rho} \frac{\partial T_i}{\partial \rho} \right) - (-1)^i \alpha_0 (T_2 - T_1), \\ & \varphi_1 + \varphi_2 = 1, \quad (i = 1, 2). \end{aligned}$$

Здесь W_i — скорость; T_i — температура; p_i — давление; φ_i — концентрация; ρ_i — истинная плотность при температуре стенки T_w ; μ_i , β_i , c_{pi} , λ_i — соответственно коэффициенты динамической вязкости, объемного расширения, удельной теплоемкости при постоянном давлении, теплопроводности i -й фазы; k_0 и α_0 — коэффициенты динамического и теплового взаимодействия между фазами; g — ускорение силы тяжести; $i = 1, 2$ соответственно для первой и второй фаз.

В области тепловой стабилизации потока температуры, отсчитанные от температуры стенки, не изменяются по длине, т. е.

$$(1.2) \quad T_i - T_w = \theta_i(\rho) \quad (i=1,2),$$

а продольные градиенты температур в каждой точке потока, в том числе и на стенке, являются постоянными

$$(1.3) \quad \frac{\partial T_1}{\partial z} = \frac{\partial T_2}{\partial z} = \frac{\partial T_w}{\partial z} = A = \text{const.}$$

Для удобства дальнейших вычислений систему (1.1) с учетом (1.2), (1.3) запишем в безразмерной форме:

$$(1.4) \quad \begin{aligned} & \varphi_1 \left(\frac{d^2 U_1}{dr^2} + \frac{1}{r} \frac{dU_1}{dr} \right) + k (U_2 - U_1) + \varphi_1 \text{Ra} \theta_1 = \varphi_1 P_1; \\ & \varphi_2 \delta_1 \left(\frac{d^2 U_2}{dr^2} + \frac{1}{r} \frac{dU_2}{dr} \right) + k (U_1 - U_2) + \varphi_2 \delta_2 \text{Ra} \theta_2 = \varphi_2 P_2; \\ & \varphi_1 U_1 = \varphi_1 \left(\frac{d^2 \theta_1}{dr^2} + \frac{1}{r} \frac{d\theta_1}{dr} \right) + \alpha (\theta_2 - \theta_1); \\ & \varphi_2 \delta_3 U_2 = \varphi_2 \delta_4 \left(\frac{d^2 \theta_2}{dr^2} + \frac{1}{r} \frac{d\theta_2}{dr} \right) + \alpha (\theta_1 - \theta_2), \end{aligned}$$

где введены следующие обозначения:

$$\begin{aligned} U_i &= W_i \frac{\mu_1}{\rho_1 g R^2}; \quad \theta_i = \theta_i \frac{\mu_1 \lambda_1}{Ag R^2 \rho_1^2 c_{p1}}, \quad (i = 1, 2), \quad r = \frac{\rho}{R}; \\ k &= \frac{k_0 R^2}{\mu_1}; \quad \alpha = \frac{\alpha_0 R^2}{\lambda_1}; \quad \delta_1 = \frac{\mu_2}{\mu_1}; \quad \delta_2 = \frac{\rho_2 \beta_2}{\rho_1 \beta_1}; \\ \delta_3 &= \frac{\rho_2 c_{p2}}{\rho_1 c_{p1}}; \quad \delta_4 = \frac{\lambda_2}{\lambda_1}; \quad P_1 = 1 + \frac{1}{g \rho_1} \frac{dp_1}{dz}; \quad P_2 = \frac{\rho_2}{\rho_1} + \frac{1}{g \rho_1} \frac{dp_2}{dz}; \end{aligned}$$

$\text{Ra} = \frac{Ag R^4 \beta_1}{\mu_1 \lambda_1} \rho_1^2 c_{p1}$ — число Релея первой фазы.

Таким образом, задача сводится к решению системы уравнений (1.4) при граничных условиях

$$(1.5) \quad \begin{aligned} & U_i = \theta_i = 0 \quad (i=1, 2), \quad r=1; \\ & \frac{dU_i}{dr} = \frac{d\theta_i}{dr} = 0 \quad (i=1, 2), \quad r=0. \end{aligned}$$

Методом конечного интегрального преобразования Ханкеля решение краевой задачи (1.4), (1.5) получается в виде:

$$\begin{aligned}
 (1.6) \quad U_i &= 2 \sum_{n=1}^{\infty} U_{in} \frac{\mathcal{Y}_i(H_n r)}{H_n \mathcal{Y}_1(H_n)}, \quad (i = 1, 2); \\
 \theta_i &= 2 \sum_{n=1}^{\infty} \theta_{in} \frac{\mathcal{Y}_0(H_n r)}{H_n \mathcal{Y}_1(H_n)}, \quad (i = 1, 2); \\
 \theta_{1n} &= \frac{\varphi_1}{D_n} [\varphi_1 P_1 (\varphi_2 B_{2n} + C) + \varphi_2 P_2 (\varphi_2 B_{1n} + C)]; \\
 \theta_{2n} &= \frac{\varphi_1}{D_n} [\varphi_1 P_1 (\varphi_2 A_{2n} + C) + \varphi_2 P_2 (\varphi_2 A_{1n} + C)]; \\
 U_{1n} &= \frac{\alpha \varphi_2}{D_n} [\varphi_1 P_1 (A_{2n} - B_{2n}) + \varphi_2 P_2 (A_{1n} - B_{1n}) - H_n^2 \theta_{1n}]; \\
 U_{2n} &= \frac{\alpha \varphi_1}{\delta_3 D_n} [\varphi_1 P_1 (B_{2n} - A_{2n}) + \varphi_2 P_2 (B_{1n} - A_{1n})] - \frac{\delta_4 H_n^2}{\delta_3} \theta_{2n},
 \end{aligned}$$

где постоянные A_{in} , B_{in} ($i=1, 2$), C , D_n определяются выражениями:

$$\begin{aligned}
 A_{1n} &= (\varphi_1 H_n^2 + k) (\varphi_1 H_n^2 + \alpha) + \varphi_1^2 \text{Ra}; \\
 A_{2n} &= (\varphi_1 H_n^2 + \alpha) k + \frac{\varphi_1 \delta_1 \alpha H_n^2}{\delta_3}; \\
 B_{1n} &= (\varphi_1 H_n^2 + k) \alpha + \frac{\varphi_1 k H_n^2 \delta_4}{\delta_3}; \\
 B_{2n} &= k \alpha + \frac{\varphi_1 H_n^2}{\delta_3} (\delta_4 k + \delta_1 \alpha) + \frac{\varphi_1 \varphi_2}{\delta_2} (\delta_1 \delta_4 H_n^4 + \delta_2 \delta_3 \text{Ra}), \quad C = \frac{k \alpha \varphi_1}{\delta_3}; \\
 D_n &= \varphi_2 (A_{1n} B_{2n} - A_{2n} B_{1n}) + C (A_{1n} - A_{2n} + B_{2n} - B_{1n}),
 \end{aligned}$$

(\mathcal{Y}_0 и \mathcal{Y}_1 — функции Бесселя первого рода нулевого и первого порядка; H_n являются корнями уравнения $\mathcal{Y}_0(H)=0$).

Если физические свойства фаз одинаковые, т. е. $\delta_i=1$ ($i=1, 2, 3, 4$), $P_1=P_2=P$ или концентрация второй фазы равна нулю, то в этих случаях из (1.6) получается решение задачи о взаимодействии свободной и вынужденной конвекции для однофазной среды [4,5]:

$$\begin{aligned}
 U_1 = U_2 &= -2P \sum_{n=1}^{\infty} \frac{1}{\text{Ra} + H_n^4} \frac{J_0(H_n r)}{H_n \mathcal{Y}_1(H_n)}; \\
 \theta_1 = \theta_2 &= 2P \sum_{n=1}^{\infty} \frac{H_n}{\text{Ra} + H_n^4} \frac{\mathcal{Y}_0(H_n r)}{\mathcal{Y}_1(H_n)}.
 \end{aligned}$$

2. По формулам (1.6) были проведены расчеты при следующих константах: $\delta_1=11,9$; $\delta_2=1,3$; $\delta_3=0,4$; $\delta_4=0,17$; $P_1/P_2=2$. Коэффициенты k_0 и α_0 , согласно [1,6], брались в виде

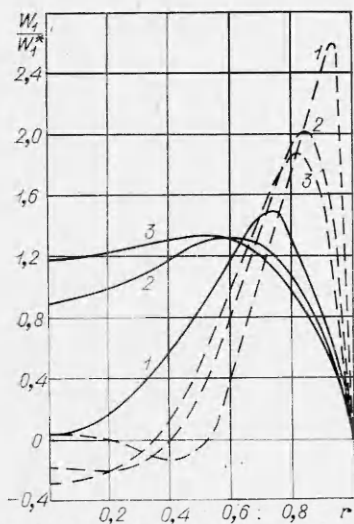
$$k_0 = \frac{9}{2} \frac{\mu_1}{l^2} \varphi_2; \quad \alpha_0 = 3 \frac{\lambda_1}{l^2} \varphi_2,$$

где l — радиус частиц второй фазы. Отсюда безразмерные комплексы k и α вычислялись по формулам

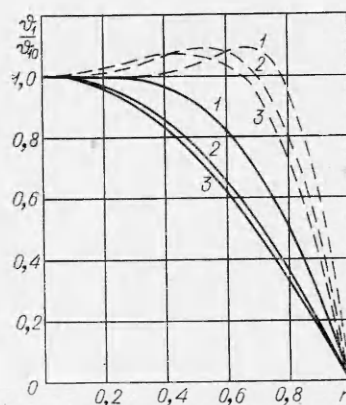
$$k = \frac{9}{2} \left(\frac{R}{l}\right)^2 \varphi_2; \quad \alpha = 3 \left(\frac{R}{l}\right)^2 \varphi_2.$$

На фиг. 1, 2 показаны профили скорости и температуры первой фазы при $R/l=10^2$, отнесенные соответственно к средней по сечению скорости W_1^* и температуре на оси трубы θ_{10} . Сплошные линии отвечают $Ra=625$, штриховые — $Ra=10^4$. Кривые 1 — 3 соответствуют $\varphi_2=0; 0,2; 0,4$.

Из фиг. 1, 2 видно, что при больших положительных числах Ra основное изменение температуры, а следовательно, и рост скорости происхо-



Фиг. 1



Фиг. 2

дит в пристенной области. С увеличением концентрации примеси возрастание скорости и температуры в потоке при одном и том же Ra происходит медленнее, чем для однофазной среды.

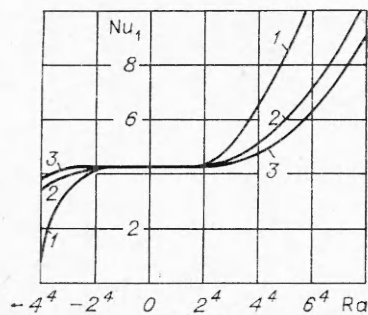
Из расчетов, проведенных при различных значениях Ra , следует, что скорость в ядре потока уменьшается с увеличением Ra и тем быстрее чем меньше концентрация второй фазы. Если для однофазной среды вблизи оси вогнутость профиля скорости возникает при $Ra=64,14$ [5], то в потоке с инородными частицами вогнутость появляется при $Ra > 64,14$, дальнейшее развитие которой приводит к изменению направления течения в ядре потока. При отрицательных Ra , что соответствует подогреву снизу, скорость потока увеличивается в середине трубы и уменьшается вблизи стенки с увеличением Ra . Последнее приводит к возникновению обратного течения у стенки. С ростом же концентрации второй фазы при одном и том же значении $Ra < 0$ скорость в ядре потока убывает, а вблизи стенки — возрастает. При Ra , близких к нулю, независимо от концентрации второй фазы распределения скорости и температуры по сечению трубы мало отличаются от соответствующих распределений однофазного потока.

На фиг. 3 показана зависимость Nu_1 (число Нуссельта) от Ra и концентрации φ_2 , рассчитанная при $R/l=10^2$. Кривые 1 — 3 соответствуют $\varphi_2=0; 0,2; 0,4$. При вычислении использовалась средняя массовая температура первой фазы $\theta_1^* = 2 \int_0^1 \theta_1 U_1 / U_1^* r dr$, т. е. число Nu_1 рассчитывалось

по формуле

$$Nu_1 = -\frac{2}{\theta_1^*} \frac{d\theta_1}{dr} \Big|_{r=1} = 4 \frac{\sum_{n=1}^{\infty} \theta_{1n} \sum_{n=1}^{\infty} \frac{1}{H_n^2} U_{1n}}{\sum_{n=1}^{\infty} \frac{1}{H_n^2} \theta_{1n} U_{1n}}$$

Из фиг. 3 видно, что при $-4^4 < Ra < 0$ число Nu_1 возрастает с увеличением концентрации, а при $Ra > 0$ — наоборот. С увеличением Ra независимо от концентрации Nu_1 растет; при $Ra \rightarrow 0$ приближается к постоянному значению 4,36, что характерно для чисто вынужденной конвекции однофазной среды.



Фиг. 3

Для однородного потока при значении $Ra = -104,9$ у стенки возникает обратное течение, что приводит уже при $Ra \leq -168$ к нарушению устойчивости и изменению характера теплоотдачи, а при $Ra < -250$ течение становится турбулентным [5]. Для потока с инородными частицами, как показывают расчеты, обратное течение у стенки возникает при $Ra < -104,9$ (например, при $\varphi_2 = 0,2$ и $Ra = -187$ обратное течение у стенки еще отсутствует), а изменение числа Нуссельта остается прежним даже при

$Ra < -250$. На основании этого можно предположить, что переход ламинарного двухфазного течения в турбулентное наступает при числах Ra меньших, чем для однородного потока.

На фиг. 1—3 кривые I совпадают с соответствующими кривыми для однофазного потока, которые приведены в [5].

Расчеты, проведенные при $R/l = 10^4$; 10^5 , показывают, что размеры частиц при одной и той же концентрации второй фазы существенного вклада в распределение скоростей и температур не вносят. Во всех случаях различие между рассматриваемыми величинами первой и второй фаз незначительно, т. е. предположение о стоксовском режиме обтекания частиц выполняется. Следовательно, полученные решения являются справедливыми для потоков с инородными частицами в трубах с соотношением $R/l > 10^2$.

Поступила 13 IX 1974

ЛИТЕРАТУРА

1. Дейч М. Е., Филиппов Г. А. Газодинамика двухфазных сред. М., «Энергия», 1968.
2. Соу С. Гидродинамика многофазных систем. М., «Мир», 1971.
3. Крайко А. Н., Ткаленко Р. А. К решению прямой задачи теории сопла Лавалля для двухфазной смеси при малом отставании частиц. — ПМТФ, 1973, № 4.
4. Остроумов Г. А. Свободная конвекция в условиях внутренней задачи. М.—Л., ГИТТЛ, 1952.
5. Петухов Б. С. Теплообмен и сопротивление при ламинарном течении жидкости в трубах. М., «Энергия», 1967.
6. Салтанов Г. А., Ткаленко Р. А. Обтекание клина сверхзвуковым двухфазным потоком. — Изв. АН СССР. МЖГ, 1972, № 2.